

# Untersuchung schwerer exotischer Mesonen mit Hilfe von Gitter-QCD

“Physikalisches Kolloquium ” – Bergische Universität Wuppertal

Marc Wagner

Goethe-Universität Frankfurt am Main, Institut für Theoretische Physik

[mwagner@itp.uni-frankfurt.de](mailto:mwagner@itp.uni-frankfurt.de)

<http://itp.uni-frankfurt.de/~mwagner/>

November 27, 2023



# Gliederung

- **Teil 1:**

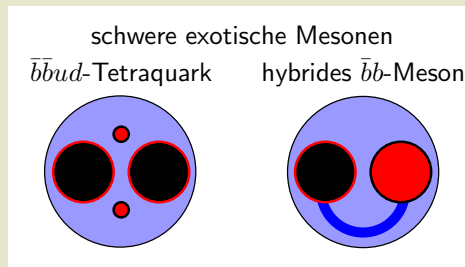
Grundlagen von

- **QCD** (= Quantenchromodynamik),
- **Berechnung von Hadron-Massen im Rahmen der QCD,**
- **Gitter-QCD** (= numerische QCD; technisch und daher ungeeignet für ein Kolloquium, dementsprechend sehr kurz).

- **Teil 2:**

Gitter-QCD-Untersuchung von **schweren exotischen Mesonen** (in der Born-Oppenheimer-Approximation).

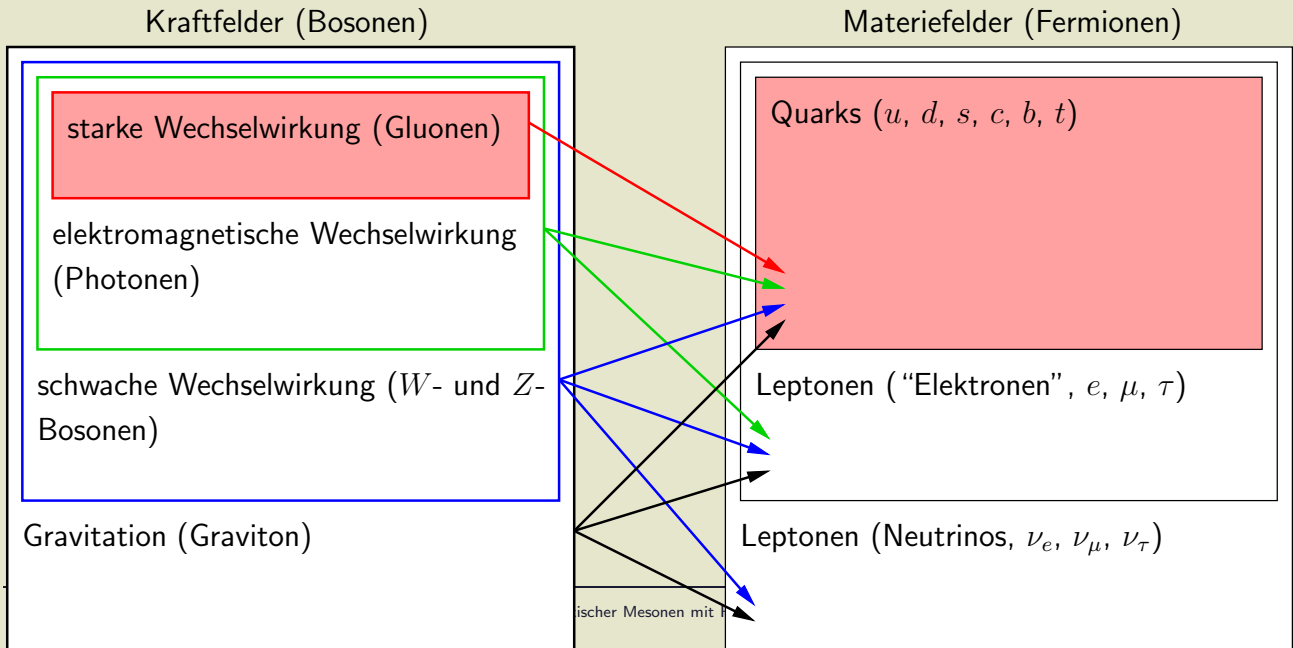
- (a) **Tetraquarks** bestehend aus zwei schweren Quarks  $\bar{b}\bar{b}$  und zwei leichten Quarks  $qq$ .
- (b) **Schwere hybride Mesonen**  $\bar{b}\bar{b} + \text{Gluonen}$ .



**Teil 1: Grundlagen von QCD  
(Quantenchromodynamik), Berechnung  
von Hadron-Massen, Gitter-QCD**

# “Standardmodell der Teilchenphysik”

- Vier fundamentale Kräfte, vermittelt durch Eichbosonen.
- Materie: Sechs Sorten von Quarks, sechs Sorten von Leptonen.
- **QCD**: Physikalische Theorie, die die Wechselwirkung von **Quarks** und **Gluonen** beschreibt ... und damit den Aufbau, die Masse und mögliche Zerfälle von daraus zusammengesetzten Systemen, z.B. Proton oder Neutron ... oder schwerer exotischer Mesonen.



# Quarks und Gluonen

- **Quarks und Antiquarks** (Spin 1/2):

- 6 Flavors ... **up, down, strange, charm, bottom, top** (unterschiedliche Massen).
- 3 Farben ... **rot, grün, blau** (eine Art Ladung, ähnlich der elektrischen Ladung).

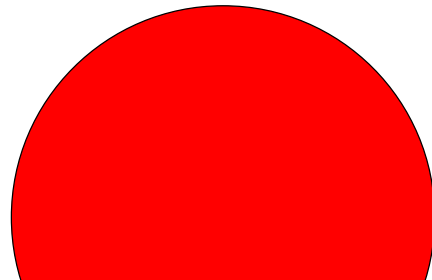
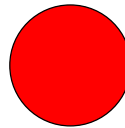
el. Ladung	$+2/3 e$	$-1/3 e$
	$m_{\text{up}} = 1.5 \dots 3.3 \text{ MeV}/c^2$	$m_{\text{down}} = 3.5 \dots 6.0 \text{ MeV}/c^2$
	$m_{\text{charm}} = 1160 \dots 1340 \text{ MeV}/c^2$	$m_{\text{strange}} = 70 \dots 130 \text{ MeV}/c^2$
	$m_{\text{top}} = 169100 \dots 173300 \text{ MeV}/c^2$	$m_{\text{bottom}} = 4130 \dots 4370 \text{ MeV}/c^2$

( $e$ : Elementarladung;  $1 \text{ MeV}/c^2 = 1.79 \times 10^{-30} \text{ kg}$ )

- **Gluonen** (Spin 1):

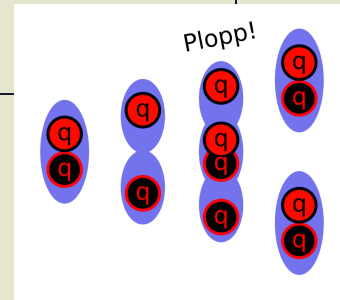
- Masselose Austauschteilchen der QCD, vermitteln Kräfte zwischen Quarks.
- Tragen selbst (Farb-)Ladung (im Gegensatz zu Photonen), was zu "eigenartigen" Phänomenen führt, insbesondere **Confinement**.

$u \rightarrow d \rightarrow s \rightarrow c \rightarrow b \rightarrow t$

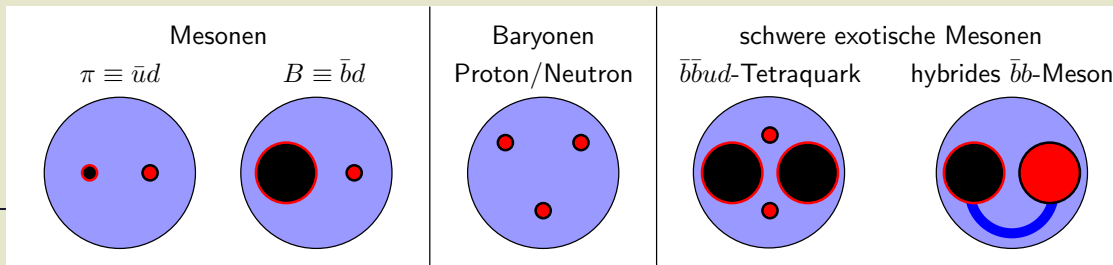


# Confinement, Hadronen

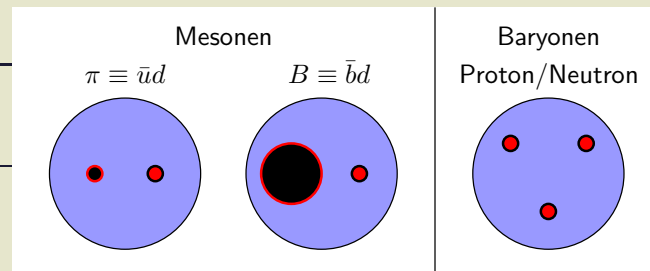
- Quarks treten “niemals” isoliert auf ... “immer” in Gruppen ... meistens Zweier- oder Dreiergruppen, sogenannten **Hadronen** (→ **Confinement**).
- **Hadronen:**



- **Mesonen:** Ganzzahliger Spin, i.d.R. gebundene Quark-Antiquark-Paare.  
Beispiele:  $\pi \equiv \bar{u}d$ ,  $B \equiv \bar{b}d$ , ...  
**Exotische Mesonen im 2. Teil dieses Vortrags:  $\bar{b}bud$ -Tetraquarks, hybride  $\bar{b}b$ -Mesonen.**
- **Baryonen:** Halbzahliger Spin, i.d.R. drei gebundene Quarks oder Antiquarks.  
Beispiele: Proton  $\equiv uud$ , Neutron  $\equiv udd$ , ...
- Hunderte von Mesonen und Baryonen in Experimenten beobachtet (“Teilchenzoo”), unterscheiden sich in
  - \* sechs Flavor-Möglichkeiten für jedes Quark/Antiquark ( $u, d, s, c, b, t$ ),
  - \* Quantenzahlen ähnlich zum Wasserstoffatom (radiale Quantenzahl, Gesamtdrehimpuls  $J$ , Parität  $P$ , ...).



# Definition von QCD



- Definition von QCD einfach:

$$S = \int d^4x \left( \sum_{f \in \{u,d,s,c,t,b\}} \bar{\psi}^{(f)} \left( \gamma_\mu (\partial_\mu - iA_\mu) + m^{(f)} \right) \psi^{(f)} + \frac{1}{2g^2} \text{Tr} \left( F_{\mu\nu} F_{\mu\nu} \right) \right)$$

$$F_{\mu\nu} = \partial_\mu A_\nu - \partial_\nu A_\mu - i[A_\mu, A_\nu].$$

- In QCD werden Teilchen durch Felder beschrieben:

- $\psi^{(f)}(\mathbf{r}, t)$ ,  $\bar{\psi}^{(f)}(\mathbf{r}, t)$ : **Quarkfelder**.
- $A_\mu(\mathbf{r}, t)$ : **Gluonfeld**.
- Wenn ein Feld am Raumpunkt  $\mathbf{r}$  zum Zeitpunkt  $t$  oszilliert bzw. einen von 0 verschiedenen Wert aufweist, befindet sich bei  $(\mathbf{r}, t)$  ein entsprechendes Teilchen.

- Keine analytischen Lösungen für z.B. Meson- oder Baryon-Massen, da

- zugehörige Feldgleichungen nicht-linear,
- kein kleiner Parameter (Kopplungskonstante) existiert (d.h. Störungstheorie i.A. nicht anwendbar).

- Numerische Methode erforderlich

→ **Gitter-QCD**.

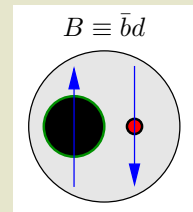
# Berechnung von Hadronmassen (1)

- Gitter-QCD-Bestimmung einer Hadronmasse in drei Schritten:
  - (1) Konstruiere einen geeigneten Hadron-Erzeugungsoperator  $\mathcal{O}$ .
  - (2) Berechne die zeitliche Korrelationsfunktion  $C(t)$  des Hadron-Erzeugungsoperators  $\mathcal{O}$  numerisch mit Hilfe von Gitter-QCD.
  - (3) Bestimme die gesuchte Hadronmasse anhand des exponentiellen Abfalls der Korrelationsfunktion  $C(t)$ .

# Berechnung von Hadronmassen (2)

## Schritt (1): Konstruiere einen geeigneten Hadron-Erzeugungsoperator $\mathcal{O}$

- Ein Hadron-Erzeugungsoperator besteht i.W. aus Quark-Feldoperatoren  $\psi^{(f)}(\mathbf{r}) \equiv u(\mathbf{r}), d(\mathbf{r}), s(\mathbf{r}), c(\mathbf{r}), b(\mathbf{r}), t(\mathbf{r})$ .
- Der Quark-Feldoperator  $u(\mathbf{r})$  platziert ein  $u$ -Quark am Raumpunkt  $\mathbf{r}$ ,  $d(\mathbf{r})$  platziert ein  $d$ -Quark, usw.
- Ein **geeigneter Hadron-Erzeugungsoperator**  $\mathcal{O}$  erzeugt in **grober Approximation** das entsprechende Hadron und respektiert die Quantenzahlen des Hadrons:
  - Feinheiten sind dabei irrelevant.
  - **Die am Ende berechnete Hadronmasse ist unabhängig von diesen Feinheiten.**
  - **Beispiel:  $B$ -Meson.**
    - \* Besteht aus einem Quark-Antiquark-Paar  $\bar{b}d$ , hat **Gesamtdrehimpuls  $J = 0$** , **Parität  $P = -$** .
    - \* Möglicher Erzeugungsoperator für ruhendes  $B$ -Meson:
$$\mathcal{O} \equiv \int d^3r \bar{b}(\mathbf{r}) \gamma_5 d(\mathbf{r})$$
( $\gamma_5$  sorgt für  $J^P = 0^-$ ,  $\int d^3r$  für Impuls  $\mathbf{p} = 0$ ).



# Berechnung von Hadronmassen (3)

## Schritt (2): Berechne die zeitliche Korrelationsfunktion $C(t)$ des Hadron-Erzeugungsoperators $\mathcal{O}$ numerisch mit Hilfe von Gitter-QCD

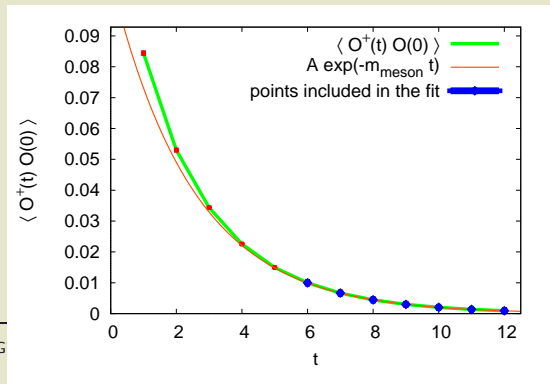
- **Korrelationsfunktion:**  $C(t) \equiv \langle \Omega | \mathcal{O}^\dagger(t) \mathcal{O}(0) | \Omega \rangle$  ( $|\Omega\rangle = \text{Vakuum}$ ).
- Gitter-QCD technisch aufwändig:
  - Anspruchsvolle Computerprogramme müssen geschrieben werden ...
  - ... dann rechnen High-Performance-Computer mehrere Wochen oder Monate ...
  - ... mehr dazu auf den nächsten beiden Folien.

## Schritt (3): Bestimme die gesuchte Hadronmasse anhand des exponentiellen Abfalls der Korrelationsfunktion $C(t)$

- Aus elementarer Quantenmechanik ergibt sich

$$C(t) = \langle \Omega | \mathcal{O}^\dagger(t) \mathcal{O}(0) | \Omega \rangle \stackrel{t \rightarrow \infty}{\propto} e^{-m_B t}.$$

- Fit von  $Ae^{-m_B t}$  an die Gitter-QCD-Ergebnisse für  $C(t)$  liefert die gesuchte Hadronmasse  $m_B$ .



# Gitter-QCD (1)

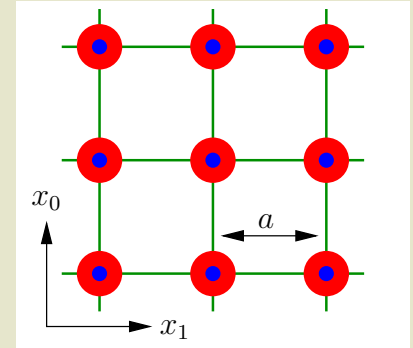
- **Ziel:** Numerische Berechnung von QCD-Observablen, z.B. einer **zeitlichen Korrelationsfunktion** und damit einer Mesonmasse.
- **Ausgangspunkt:** **Pfadintegralformulierung**,

$$C(t) = \langle \Omega | \mathcal{O}^\dagger(t) \mathcal{O}(0) | \Omega \rangle = \frac{1}{Z} \int \underbrace{\left( \prod_f D\psi^{(f)} D\bar{\psi}^{(f)} \right) DA_\mu \dots}_{\text{Pfad- oder Funktionalintegral}}$$

- $\int (\prod_f D\psi^{(f)} D\bar{\psi}^{(f)}) DA_\mu$  wird als **Pfadintegral** bezeichnet ...
- ... ist ein Integral über alle denkbaren Quark- und Gluon-Feldkonfigurationen  $\psi^{(f)}(\mathbf{r}, t)$  und  $A_\mu(\mathbf{r}, t)$  ...
- ... also ein Integral über einen ganzen Funktionenraum ...
- ... an jedem der unendlich vielen Raumzeitpunkte  $(\mathbf{r}, t)$  muss ein “normales Integral” über die Feldwerte  $\psi^{(f)}(\mathbf{r}, t)$  und  $A_\mu(\mathbf{r}, t)$  ausgeführt werden ...
- ... **damit ein unendlich-dimensionales Integral.**

# Gitter-QCD (2)

- Numerische Umsetzung des Pfadintegralformalismus:
  - Diskretisiere die Raumzeit mit einem kubischen Gitter mit hinreichend kleinem Gitterabstand  $a \approx 0.05 \text{ fm} \dots 0.10 \text{ fm}$   
→ **Kontinuumsphysik**.
  - Kompaktifiziere die Raumzeit mit hinreichend großer Ausdehnung  $L \approx 2.0 \text{ fm} \dots 4.0 \text{ fm}$  (4-dimensionaler Torus)  
→ **Keine Finite-Size-Effekte**.



- Pfadintegral reduziert auf ordinäres endlich-dimensionales Integral,

$$\int \left( \prod_f D\psi^{(f)} D\bar{\psi}^{(f)} \right) DA_\mu \rightarrow \prod_{x_\nu \in \text{Gitter}} \left( \prod_f d\psi^{(f)}(x_\nu) d\bar{\psi}^{(f)}(x_\nu) \right) dU_\mu(x_\nu).$$

- Typische heutige Dimension eines QCD-Pfadintegrals:

- $x_\nu$ :  $32^4 \approx 10^6$  Gitterplätze.
- $\psi = \psi_A^{a,(f)}$ : 24 Quarkfreiheitsgrade ( $\times 2$  (Anti-)Teilchen,  $\times 3$  Farbe,  $\times 4$  Spin), 2 Flavours.
- $U_\mu = U_\mu^{ab}$ : 32 Gluonfreiheitsgrade ( $\times 8$  Farbe,  $\times 4$  Spin).
- Insgesamt:  $32^4 \times (2 \times 24 + 32) \approx \mathbf{83} \times \mathbf{10^6}$  dimensionales Integral.

→ Speziell entwickelte stochastische Algorithmen erforderlich (→ Fehlerbalken).

→ Hochleistungscomputersysteme erforderlich (→ Zusammenschluss zu Kollaborationen).

# Ziele der Gitter-QCD

- Mit Gitter-QCD-Rechnungen verfolgt man eine Vielzahl von Zielen:
  - Verifikation bzw. Falsifikation von QCD durch Vergleich von Gitter-QCD-Resultaten mit experimentellen Messergebnissen (Suche nach bisher unbekannter Physik).
  - Vorhersagen von bisher nicht in Experimenten beobachteten Mesonen oder Baryonen (→ wertvoller Input für Experimente).  
“Existiert ein  $\bar{b}bud$ -Tetraquark? Welche Masse hat es?”
  - Untersuchung der Struktur von Mesonen oder Baryonen.  
“Hat ein  $\bar{b}bud$ -Tetraquark eine Meson-Meson- oder eine Diquark-Antidiquark-Struktur?”  
“Wie ordnen sich die Gluonen im Inneren eines hybriden Mesons an?”
  - Auflösen von momentan existierenden Widersprüchen zwischen experimentellen Ergebnissen und theoretischen Modellrechnungen.
  - Berechnung von experimentell schwer bzw. nicht zugänglichen QCD-Observablen (z.B. QCD bei extremen Temperaturen).
  - ...

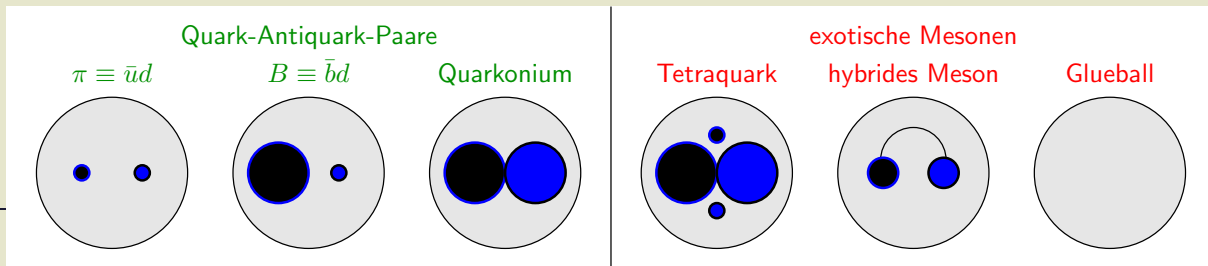
**(+) Keine Annahmen. Keine Näherungen. Kein Modell. Vollwertige QCD-Ergebnisse.**

**(–) Zeitaufwändig ... Gitter-QCD-Projekte benötigen mehrere Jahre.**

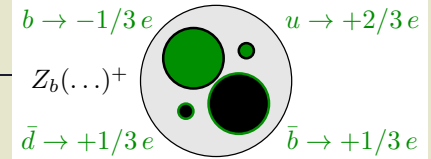
## Teil 2: Gitter-QCD-Untersuchung von schweren exotischen Mesonen (in der Born-Oppenheimer-Approximation)

# Exotische Mesonen (1)

- **Mesonen:** Gebundene Systeme von Quarks und Gluonen mit ganzzahligem Spin/Gesamtdrehimpuls  $J = 0, 1, 2, \dots$
  - Die meisten Mesonen scheinen **Quark-Antiquark-Paare** zu sein (z.B.  $\pi \equiv \bar{u}d$ ,  $B \equiv \bar{b}d$ ):
    - Quark-Antiquark-Modellrechnungen liefern mit Experimenten konsistente Ergebnisse, z.B. für Mesonmassen.
  - Einige Mesonen passen nicht ins Quark-Antiquark-Bild, ihre Quark-Zusammensetzung ist unklar:
    - Sie könnten eine abweichende Struktur besitzen, z.B.
      - \* **zwei Quarks und zwei Antiquarks (Tetraquark)**,
      - \* **ein Quark-Antiquark-Paar und Gluonen (hybrides Meson)**,
      - \* **nur Gluonen (Glueball)**.
- Man bezeichnet sie als **exotische Mesonen**.



# Exotische Mesonen (2)



- Experimentelle Beobachtungen von Tetraquarks:

- Elektrisch geladene Mesonen  $Z_b(10610)^+$  und  $Z_b(10650)^+$ : (2011)

- \* Masse erfordert ein  $b\bar{b}$ -Paar.

- \*  $b\bar{b}$  ist elektrisch neutral ... woher kommt also die Ladung?

- \* Im Tetraquark-Bild  $Z_b(\dots)^+ \equiv b\bar{b}u\bar{d}$  verständlich ( $u \rightarrow +2/3 e$ ,  $\bar{d} \rightarrow -1/3 e$ ).

- $T_{cc} = \bar{c}\bar{c}ud$  mit Isospin  $I = 0$  und Gesamtdrehimpuls/Parität  $J^P = 1^+$ : (2021)

- \* Masse minimal unterhalb des leichtesten Meson-Meson-Thresholds ( $DD^*$ ).

- \* Das langlebigste bisher beobachtete exotische Hadron.

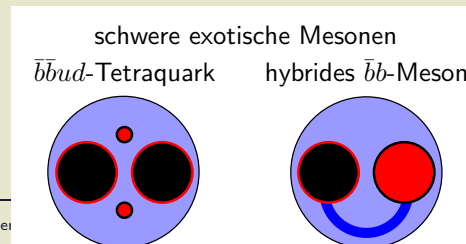
[R. Aaij *et al.* [LHCb], *Nature Phys.* **18**, 751-754 (2022) [arXiv:2109.01038]].

- In diesem Vortrag ausschließlich **schwere** exotische Mesonen:

- Tetraquarks  $\bar{b}\bar{b}qq$

- (light quarks  $q \in \{u, d, s\}$ ; enthalten die “ $b$ -Quark-Version” des oben genannten  $T_{cc}$ ),

- hybride Mesonen  $\bar{b}b + \text{Gluonen}$ .



# Zwei theoretische Herangehensweisen

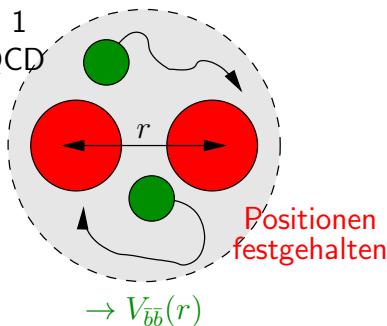
- Zwei mögliche theoretische Herangehensweisen, um **schwere** exotische Mesonen mit Gitter-QCD zu studieren:
  - **Gitter-QCD-Berechnung der Eigenwerte des QCD-Hamiltonian:**
    - \* Massen stabiler Hadronen entsprechen Energie-Eigenwerten im unendlichen Volumen (vergleichsweise einfach).
    - \* Massen und Zerfallsbreiten von Resonanzen können aus Volumenabhängigkeit der Energie-Eigenwerte berechnet werden (schwierig).
  - **Nicht Teil dieses Vortrags.**  
(notwendig für numerische Präzisionsergebnisse, aber sehr technisch)
  - **Born-Oppenheimer-Approximation** (besteht aus zwei Schritten):
    - (1) Berechne Potential  $V(r)$  der beiden schweren Quarks in Anwesenheit von zwei leichten Quarks und/oder Gluonen mit Hilfe von Gitter-QCD.  
→ Vollwertige QCD-Resultate.
    - (2) Benutze Standardtechniken aus Quantenmechanik sowie  $V(r)$ , um Dynamik der beiden schweren Quarks zu studieren (Schrödinger-Gleichung).  
→ Eine Approximation.
  - **Wird im weiteren Verlauf des Vortrags diskutiert.**  
(enthält Approximationen, aber man versteht die zugrunde liegende Physik)

## Teil 2a: Tetraquarks $\bar{b}\bar{b}qq$

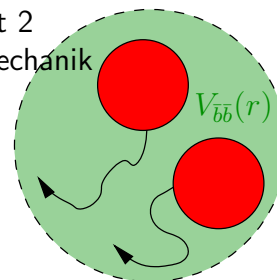
# Born-Oppenheimer-Approximation

- **Grundidee:** Untersuche Existenz von schweren  $\bar{b}\bar{b}qq$ -Tetraquarks in zwei Schritten.
  - (BO1) **Berechne Potentiale  $V_{\bar{b}\bar{b}}(r)$  von zwei schweren Antiquarks ( $\bar{b}\bar{b}$ ) in Anwesenheit von zwei leichteren Quarks ( $qq, q \in \{u, d, s\}$ ) mit Hilfe von Gitter-QCD.**
  - (BO2) **Prüfe, ob diese Potentiale hinreichend stark attraktiv sind, um gebundene Zustände/Resonanzen zu beherbergen ( $\rightarrow$  entsprechen  $\bar{b}\bar{b}qq$ -Tetraquarks), durch Lösen entsprechender Schrödinger-Gleichungen.**
- (1) + (2)  $\rightarrow$  **Born-Oppenheimer-Approximation:**
  - Entwickelt 1927 für Molekül- bzw. Festkörperphysik.  
[M. Born, R. Oppenheimer, "Zur Quantentheorie der Molekeln," *Annalen der Physik* 389, Nr. 20, 1927]
  - Schritt (1) im Folgenden aber nicht Quantenmechanik, sondern (Gitter-)QCD.
  - Sinnvolle Approximation, da  $m_q \ll m_b$  ( $\bar{b}$ -Quarks ruhen aus Sicht der leichten Quarks).

Schritt 1  
Gitter-QCD



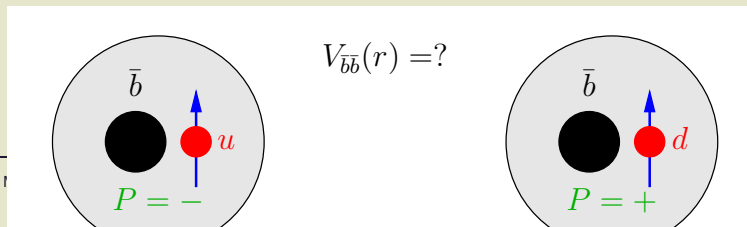
Schritt 2  
Quantenmechanik



$\rightarrow$  Tetraquark existiert ... oder nicht

# BO1: $\bar{b}\bar{b}qq$ - / $BB$ -Potentiale (1)

- Große  $\bar{b}\bar{b}$ -Separationen  $r$ : Die vier Quarks bilden zwei  $B$ -Mesonen ( $B = \bar{b}q$ ).  
→ Interpretation von  $V_{\bar{b}\bar{b}}(r)$  als  $\bar{b}\bar{b}qq$ -Potentiale oder als  $BB$ -Potentiale, je nach Wert von  $r$ .
  - Spins der schweren  $\bar{b}$ -Quarks nahezu irrelevant (Analogie: Hyperfeinaufspaltung beim  $H$ -Atom).
  - Betrachte zwei Sorten von  $B$ -Mesonen, mit Parität
    - $P = -$  (pseudoskalare/Vektor-Mesonen,  $B \approx B^*$ ),
    - $P = +$  (skalare/Pseudovektor-Mesonen,  $B_0^* \approx B_1^*$ , etwa 400 MeV schwerer als  $B$ ,  $B^*$ ).
  - Berechne  $\bar{b}\bar{b}qq$ - /  $BB$ -Potentiale  $V_{\bar{b}\bar{b}}(r)$  in Abhängigkeit von
    - leichten Quark-Flavors (für Isospin  $I = 0$  [ $ud - du$ ] und  $I = 1$  [ $uu$ ,  $dd$ ,  $ud + du$ ]),
    - leichten Quark-Spins (für Spin  $j = 0$  [ $\uparrow\downarrow - \downarrow\uparrow$ ] und  $j = 1$  [ $\uparrow\uparrow$ ,  $\downarrow\downarrow$ ,  $\uparrow\downarrow + \downarrow\uparrow$ ]),
    - Parität.
- Zahlreiche Potentiale, manche attraktiv, andere repulsiv, unterschiedliche Asymptoten, ...



# BO1: $\bar{b}\bar{b}qq$ - / $BB$ -Potentiale (2)

- Gitter-QCD-Berechnung der  $\bar{b}\bar{b}qq$ - /  $BB$ -Potentiale  $V_{\bar{b}\bar{b}}(r)$  wie in Teil 1 dieses Vortrags diskutiert.

(1) Verwende  $\bar{b}\bar{b}qq$ -Erzeugungsoperatoren

$$\mathcal{O}_{BB} = (\mathcal{C}\Gamma)_{AB}(\mathcal{C}\tilde{\Gamma})_{CD} \underbrace{\left(\bar{b}_C(-\mathbf{r}/2)q_A^{(1)}(-\mathbf{r}/2)\right)}_{=B\text{-Meson}} \underbrace{\left(\bar{b}_D(+\mathbf{r}/2)q_B^{(2)}(+\mathbf{r}/2)\right)}_{=B\text{-Meson}}.$$

\* **Leichte Quark-Flavors:**

$qq = ud - du \rightarrow$  Isospin  $I = 0$ ;

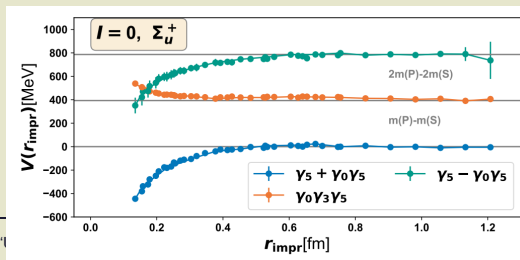
$qq = uu, dd, ud + du \rightarrow$  Isospin  $I = 1$ .

\*  $\Gamma$ :  $4 \times 4$ -Matrix, eine Kombination aus  $\gamma$ -Matrizen (bekannt aus Dirac-Gleichung)

$\rightarrow$  Spin und Parität.

(2) Berechne zeitliche Korrelationsfunktionen (für  $I = 0, 1$ , alle unabhängigen  $\Gamma$ 's [16 Möglichkeiten], zahlreiche  $r$ ).

(3) Extrahiere  $V_{\bar{b}\bar{b}}(r)$  anhand des exponentiellen Abfalls der Korrelationsfunktionen.



# Gitter-QCD-Setup

- Erster Schritt jeder Gitter-QCD-Rechnung: Erzeugen einer repräsentativen Menge von Feldkonfigurationen, die das QCD-Pfadintegral approximieren.  
→ Sehr rechenzeitaufwändig, aber Feldkonfigurationen universell verwendbar.
- Großteil der publizierten Ergebnisse auf **ETMC-Eichlinkkonfigurationen** berechnet:
  - $N_f = 2$  dynamische Quark-Flavors, Gitterabstand  $a \approx 0.079$  fm.
  - $24^3 \times 48$ , d.h. räumliche Gitterausdehnung  $\approx 1.90$  fm.
  - Drei Pion-Massen  $m_\pi \approx 340$  MeV,  $m_\pi \approx 480$  MeV,  $m_\pi \approx 650$  MeV.

[R. Baron *et al.* [ETM Collaboration], JHEP **1008**, 097 (2010) [arXiv:0911.5061]]

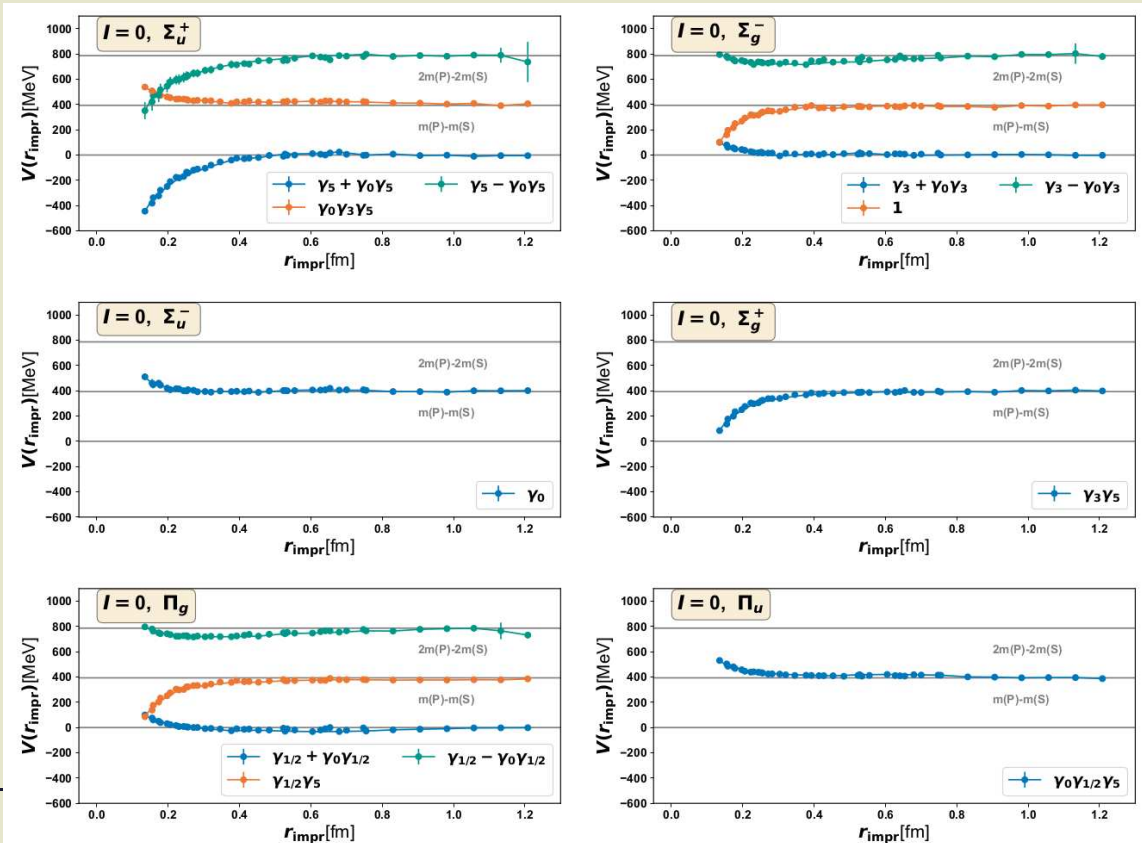
- Aktuelle Rechnungen auf **CLS-Eichlinkkonfigurationen**:
  - $N_f = 2$  dynamische Quark-Flavors, Gitterabstand  $a \approx 0.0749$  fm.
  - $32^3 \times 64$ , d.h. räumliche Gitterausdehnung  $\approx 2.42$  fm.
  - Pion-Masse  $m_\pi \approx 331$  MeV.

[P. Fritsch, F. Knechtli, B. Leder, M. Marinkovic, S. Schaefer, R. Sommer, F. Virotta, Nucl. Phys. B **865**, 397-429 (2012) [arXiv:1205.5380]]

[G. P. Engel, L. Giusti, S. Lottini and R. Sommer, Phys. Rev. D **91**, no. 5, 054505 (2015) [arXiv:1411.6386]]

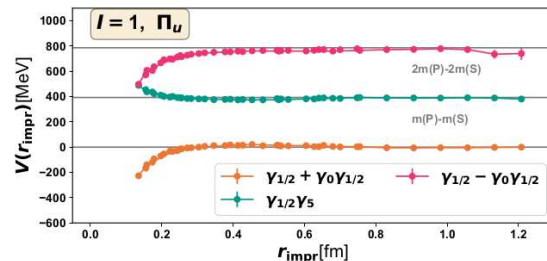
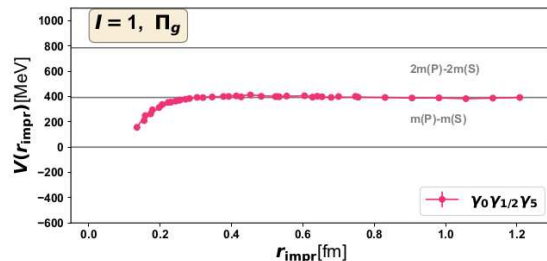
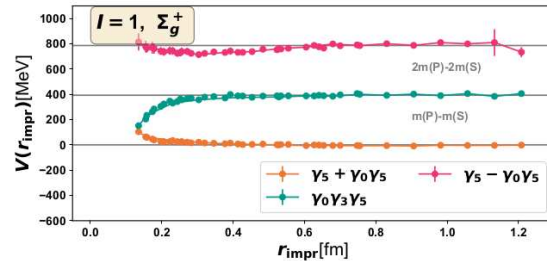
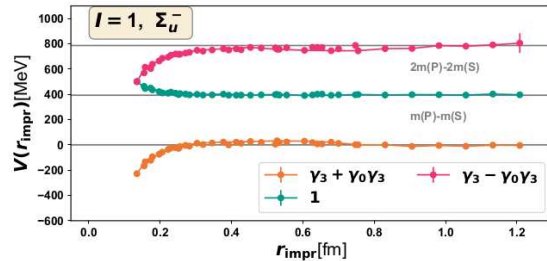
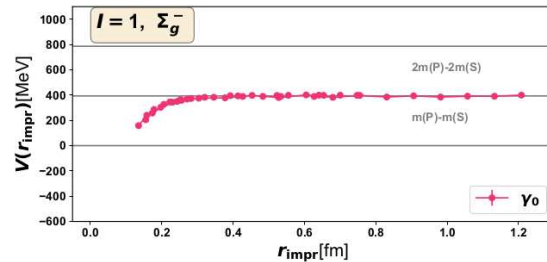
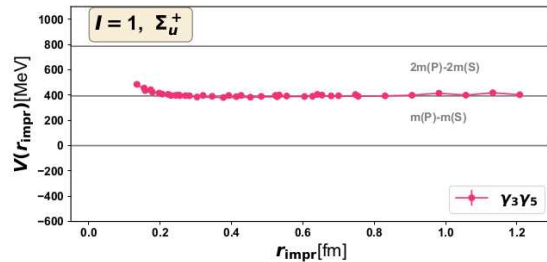
# B01: $\bar{b}\bar{b}qq-$ / $BB$ -Potentiale (3)

[P. Bicudo, M. Marinkovic, L. Müller, M.W. unpublished ongoing work]



# B01: $\bar{b}\bar{b}qq-$ / $BB$ -Potentiale (4)

[P. Bicudo, M. Marinkovic, L. Müller, M.W. unpublished ongoing work]



# B01: $\bar{b}\bar{b}qq$ -/ $BB$ -Potentiale (5) to (8)

- Damit  $\bar{b}\bar{b}qq$ -/ $BB$ -Potentiale mit einem “Computerexperiment” vermessen.
- Gitter-QCD-Rechnungen liefern i.d.R. kein tiefes physikalisches Verständnis.

→ Im Folgenden zusätzliche theoretische Überlegungen, um drei Fragen zu beantworten.

- **Warum drei unterschiedliche asymptotische Werte der Potentiale?**

- Asymptoten zeigen  $B^{(*)}B^{(*)}$ -Potentiale,  $B^{(*)}B_{0,1}^*$ -Potentiale und  $B_{0,1}^*B_{0,1}^*$ -Potentiale an.

- **Warum sind einige Potentiale attraktiv, andere repulsiv?**

- ( $I = 0, j = 0$ ) and ( $I = 1, j = 1$ ) → attraktives  $\bar{b}\bar{b}qq$ -/ $BB$ -Potential.

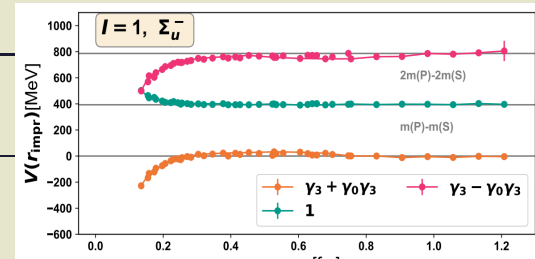
- ( $I = 0, j = 1$ ) and ( $I = 1, j = 0$ ) → repulsives  $\bar{b}\bar{b}qq$ -/ $BB$ -Potential.

- Pauli-Prinzip und Annahme von “1-Gluon-Austausch” bei kleinen  $r$  erklärt, warum einige Potentiale attraktiv sind, andere repulsiv.

- **Warum 24 nicht-degenerierte  $\bar{b}\bar{b}qq$ -/ $BB$ -Potentiale? Übersichtliche Klassifizierung möglich?**

- 64 Erzeugungsoperatoren, 2-fache/3-fache Entartung aufgrund von Spin/Isospin  
→ 24 nicht-degenerierte  $\bar{b}\bar{b}qq$ -/ $BB$ -Potentiale.

# BO1: $\bar{b}\bar{b}qq- / BB-... (5)$



## Warum drei unterschiedliche asymptotische Werte der Potentiale?

- Differenzen zwischen Asymptoten  $\approx 400$  MeV ... entspricht der Massendifferenz von  $B^{(*)}$  ( $P = -$ ) und  $B_{0,1}^*$  ( $P = +$ ).
- **Legt nahe, dass Asymptoten  $B^{(*)}B^{(*)}$ -Potentiale,  $B^{(*)}B_{0,1}^*$ -Potentiale und  $B_{0,1}^*B_{0,1}^*$ -Potentiale anzeigen.**
- Kann durch Umschreiben der  $\bar{b}\bar{b}qq$ -Erzeugungsoperatoren in Meson-Meson-Erzeugungsoperatoren bestätigt werden (Fierz-Transformation).

- Beispiel:  $uu$ ,  $\Gamma = (\gamma_3 + \gamma_0\gamma_3)$  (attraktiv, niedrigste Asymptote),

$$\begin{aligned} & \left( C(\gamma_3 + \gamma_0\gamma_3) \right)_{AB} \left( \bar{Q}_C(-\mathbf{r}/2)q_A^{(u)}(-\mathbf{r}/2) \right) \left( \bar{Q}_D(+\mathbf{r}/2)q_B^{(u)}(+\mathbf{r}/2) \right) \propto \\ & \propto (B^{(*)})_{\uparrow}(B^{(*)})_{\downarrow} + (B^{(*)})_{\downarrow}(B^{(*)})_{\uparrow}. \end{aligned}$$

- Beispiel:  $uu$ ,  $\Gamma = 1$  (repulsiv, mittlere Asymptote),

$$\begin{aligned} & \left( C1 \right)_{AB} \left( \bar{Q}_C(-\mathbf{r}/2)q_A^{(u)}(-\mathbf{r}/2) \right) \left( \bar{Q}_D(+\mathbf{r}/2)q_B^{(u)}(+\mathbf{r}/2) \right) \propto \\ & \propto (B^{(*)})_{\uparrow}(B_{0,1}^*)_{\downarrow} - (B^{(*)})_{\downarrow}(B_{0,1}^*)_{\uparrow} + (B_{0,1}^*)_{\uparrow}(B^{(*)})_{\downarrow} - (B_{0,1}^*)_{\downarrow}(B^{(*)})_{\uparrow}. \end{aligned}$$

# BO1: $\bar{b}\bar{b}qq$ - / $BB$ -Potentiale (6)

## Warum sind einige Potentiale attraktiv, andere repulsiv? (1)

- Wellenfunktionen ununterscheidbarer Fermionen müssen antisymmetrisch sein (Pauli-Prinzip).
  - In Quantenfeldtheorie/QCD automatisch realisiert (im Gegensatz zur Quantenmechanik).
  - Leichte Quarks  $qq$ :
    - \* Isospin:  $I = 0$  antisymmetrisch ( $ud - du$ ),  $I = 1$  symmetric ( $uu$ ,  $dd$ ,  $ud - du$ ).
    - \* Spin:  $j = 0$  antisymmetrisch ( $\uparrow\downarrow - \downarrow\uparrow$ ),  $j = 1$  symmetric ( $\uparrow\uparrow$ ,  $\downarrow\downarrow$ ,  $\uparrow\downarrow + \downarrow\uparrow$ ).
    - \* Farbe:
      - ( $I = 0, j = 0$ ) und ( $I = 1, j = 1$ ): Muss antisymmetrisch sein, Triplet  $\bar{3}$ .
      - ( $I = 0, j = 1$ ) und ( $I = 1, j = 0$ ): Muss symmetrisch sein, Sextet  $6$ .
- Die vier Quarks  $\bar{b}\bar{b}qq$  müssen ein Farb-Singlet bilden ("farbneutraler Zustand"):
  - $qq$  in einem Farb-Triplet  $\bar{3}$  →  $\bar{b}\bar{b}$  ebenfalls in einem Farb-Triplet  $3$ .
  - $qq$  in einem Farb-Sextet  $6$  →  $\bar{b}\bar{b}$  ebenfalls in einem Farb-Sextet  $\bar{6}$ .

# BO1: $\bar{b}\bar{b}qq$ - / $BB$ -Potentiale (7)

## Warum sind einige Potentiale attraktiv, andere repulsiv? (2)

- Annahme: Attraktives/repulsives Verhalten von  $\bar{b}\bar{b}$  bei kleinen Abständen  $r$  im Wesentlichen durch 1-Gluon-Austausch:

→ Farb-Triplet  $\mathbf{3}$  entspricht attraktivem Potential,  $V_{\bar{b}\bar{b}}(r) \approx -2\alpha_s/3r$ .

→ Farb-Sextet  $\bar{\mathbf{6}}$  entspricht repulsivem Potential,  $V_{\bar{b}\bar{b}}(r) \approx +\alpha_s/3r$ .

(Vergleichsweise einfach in führender Ordnung in Störungstheorie berechenbar [typische Übungsaufgabe in Quantenfeldtheorie-Vorlesungen]).

- Insgesamt:

–  $(I = 0, j = 0)$  und  $(I = 1, j = 1)$  → attraktives  $\bar{b}\bar{b}$ -Potential  $V_{\bar{b}\bar{b}}(r)$ .

–  $(I = 0, j = 1)$  und  $(I = 1, j = 0)$  → repulsives  $\bar{b}\bar{b}$ -Potential  $V_{\bar{b}\bar{b}}(r)$ .

- Diese Erwartungen spiegeln sich perfekt in den numerischen Gitter-QCD-Ergebnissen wider.
- **Pauli-Prinzip und Annahme von “1-Gluon-Austausch” bei kleinen  $r$  erklärt, warum einige Potentiale attraktiv sind, andere repulsiv.**

# BO1: $\bar{b}\bar{b}qq$ -/ $BB$ -Potentiale (8)

Warum 24 nicht-degenerierte  $\bar{b}\bar{b}qq$ -/ $BB$ -Potentiale? Übersichtliche Klassifizierung möglich?

- Insgesamt  $16 \times 4 = 64$  unterschiedliche Erzeugungsoperatoren:

$$\mathcal{O}_{BB} \equiv (\mathcal{C}\Gamma)_{AB}(\mathcal{C}\tilde{\Gamma})_{CD} \underbrace{\left(\bar{b}_C(-\mathbf{r}/2)q_A^{(1)}(-\mathbf{r}/2)\right)}_{=B\text{-Meson}} \underbrace{\left(\bar{b}_D(+\mathbf{r}/2)q_B^{(2)}(+\mathbf{r}/2)\right)}_{=B\text{-Meson}}.$$

$B^{(*)}B^{(*)}$ -Potentiale:	attraktiv:	$1 \oplus 3 \oplus 6$	(10 Erzeugungsoperatoren).
	repulsiv:	$1 \oplus 3 \oplus 2$	( 6 Erzeugungsoperatoren).
$B^{(*)}B_{0,1}^*$ -Potentiale:	attraktiv:	$1 \oplus 1 \oplus 3 \oplus 3 \oplus 2 \oplus 6$	(16 Erzeugungsoperatoren).
	repulsiv:	$1 \oplus 1 \oplus 3 \oplus 3 \oplus 2 \oplus 6$	(16 Erzeugungsoperatoren).
$B_{0,1}^*B_{0,1}^*$ -Potentiale:	attraktiv:	$1 \oplus 3 \oplus 6$	(10 Erzeugungsoperatoren).
	repulsiv:	$1 \oplus 3 \oplus 2$	( 6 Erzeugungsoperatoren).

– 2-fache Entartung für Spin  $j_z = \pm 1$ .

– 3-fache Entartung für Isospin  $I = 1$ ,  $I_z = -1, 0, +1$ .

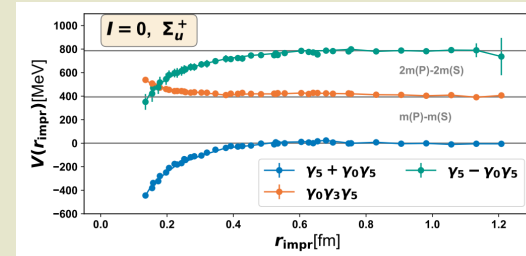
→ 24 nicht-degenerierte  $\bar{b}\bar{b}qq$ -/ $BB$ -Potentiale.

# BO2: stabile $\bar{b}\bar{b}qq$ -Tetraquarks

- Löse Schrödinger-Gleichung für Relativkoordinate  $\mathbf{r}$  der beiden  $\bar{b}$ -Quarks,

$$\left(-\frac{1}{2\mu}\Delta + V_{\bar{b}\bar{b}}(r)\right)\psi(\mathbf{r}) = E\psi(\mathbf{r}) \quad , \quad \mu = m_b/2.$$

- Gegebenenfalls existierende gebundene Zustände, d.h. Zustände mit  $E < 0$ , zeigen  $\bar{b}\bar{b}qq$ -Tetraquarks an.
- Ein gebundener Zustand für spezielles Potential  $V_{\bar{b}\bar{b}}(r)$  und leichte Quarks  $qq = ud - du$ :
  - $\bar{b}\bar{b}ud$ -Tetraquark, Bindungsenergie  $E = -93_{-43}^{+47}$  MeV.
  - Quantenzahlen:  $I(J^P) = 0(1^+)$ . (wie beim experimentell beobachteten  $T_{cc}$ -Tetraquark)
- **Vorhersage eines Tetraquarks.** (aktuell keine experimentellen Ergebnisse zu  $\bar{b}\bar{b}qq$ )
  - [P. Bicudo, M.W., Phys. Rev. D **87**, 114511 (2013) [arXiv:1209.6274]]
  - [P. Bicudo, K. Cichy, A. Peters, M.W., Phys. Rev. D **93**, 034501 (2016) [arXiv:1510.03441]]
- **Sonst keine Bindungszustände, auch nicht für  $qq = ss$ .**
- Potentiale für  $qq = us$  nicht berechnet ... aber starke theoretische Evidenz für Existenz eines weiteren stabilen  $\bar{b}\bar{b}us$ -Tetraquarks mit  $J^P = 1^+$ .
  - [A. Francis, R. J. Hudspith, R. Lewis, K. Maltman, Phys. Rev. Lett. **118**, 142001 (2017) [arXiv:1607.05214]]



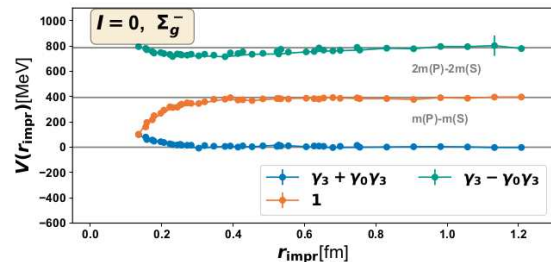
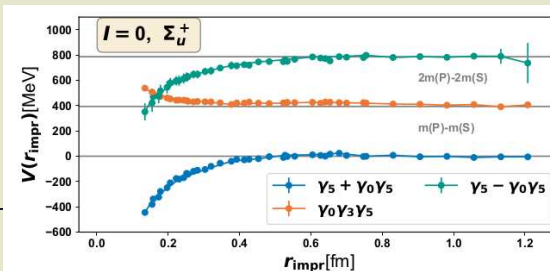
# Berücksichtigung der Spins der $\bar{b}$ -Quarks

- Bis jetzt  $b$ -Quarks als statische Quarks (= unendlich schwere Quarks) genähert.
- $\bar{b}bq\bar{q}/BB$ -Potentiale damit unabhängig vom Spin der statischen Quarks.
- Erwartete Größenordnung der Effekte der Spins der  $\bar{b}$ -Quarks:  $\mathcal{O}(m_{B^*} - m_B) = \mathcal{O}(45 \text{ MeV})$ .
- In [P. Bicudo, J. Scheunert, M.W., Phys. Rev. D **95**, 034502 (2017) [arXiv:1612.02758]] in grober Weise berücksichtigt in Form einer gekoppelten Schrödinger-Gleichung mit zwei Kanälen,  $BB^*$ -Kanal und  $B^*B^*$ -Kanal.

Erfordert Hinzunahme eines weiteren repulsiven  $\bar{b}bq\bar{q}/BB$ -Potentials (rechtes Bild, blau) und benötigt das experimentelle Ergebnis  $m_{B^*} - m_B \approx 45 \text{ MeV}$  als Input.

→ **Bindungsenergie reduziert sich von etwa 90 MeV auf etwa 60 MeV.**

→ **Physikalische Erklärung:** Das weiter oben isoliert betrachtete attraktive Potential (linkes Bild, blau) entspricht nicht nur einem leichteren  $BB^*$ -Paar, sondern hat auch einen ähnlich großen Beitrag von einem schwereren  $B^*B^*$ -Paar.



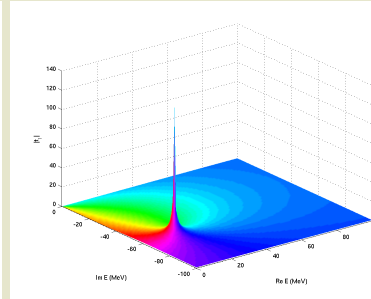
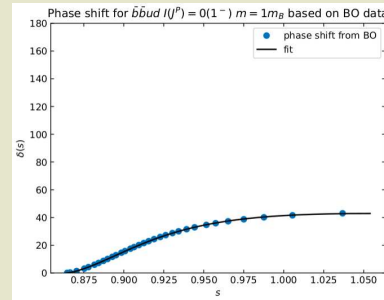
# Existieren $\bar{b}\bar{b}qq$ -Tetraquark-Resonanzen?

- In

[P. Bicudo, M. Cardoso, A. Peters, M. Pflaumer, M.W., Phys. Rev. D **96**, 054510 (2017) [arXiv:1704.02383]]

Resonanzen studiert mit Techniken der quantenmechanischen Streutheorie.

- Dabei Spins der  $b$ -Quarks ignoriert.



→ Anzeichen für Existenz einer  $\bar{b}\bar{b}ud$ -Tetraquark-Resonanz mit  $I(J^P) = 0(1^-)$ ,  $E = 17_{-4}^{+4}$  MeV oberhalb des  $BB$ -Thresholds, Zerfallsbreite  $\Gamma = 112_{-103}^{+90}$  MeV.

- In

[J. Hoffmann, A. Zimmermann-Santos and M.W., PoS **LATTICE2022**, 262 (2023) [arXiv:2211.15765]]

**Spins der  $b$ -Quarks berücksichtigt.**

(mit Techniken wie auf vorausgegangener Folie diskutiert)

→  $\bar{b}\bar{b}ud$ -Tetraquark-Resonanz nicht mehr existent.

→ Physikalische Erklärung: Das relevante attraktive Potential entspricht nicht nur einem leichteren  $BB$ -Paar, sondern hat einen deutlich größeren Beitrag von einem schwereren  $B^*B^*$ -Paar.

# Struktur des $\bar{b}\bar{b}ud$ -Tetraquarks

- Ist das stabile  $\bar{b}\bar{b}ud$ -Tetraquark ein **Meson-Meson-Paar** ( $BB$ ) oder ein **Diquark-Antidiquark-Paar** ( $Dd$ )?

– Verwende zwei Erzeugungsoperatoren,

$$\mathcal{O}_{BB} \propto (C\Gamma)_{AB}(C\tilde{\Gamma})_{CD} \underbrace{\left(\bar{b}_C(-\mathbf{r}/2)q_A^{(1)}(-\mathbf{r}/2)\right)}_{=B\text{-Meson}} \underbrace{\left(\bar{b}_D(+\mathbf{r}/2)q_B^{(2)}(+\mathbf{r}/2)\right)}_{=B\text{-Meson}}$$

$$\mathcal{O}_{Dd} \propto \underbrace{\epsilon^{abc}\left(q_A^{(1),b}(\mathbf{z})(C\Gamma)_{AB}q_B^{(2),c}(\mathbf{z})\right)}_{=\text{leichtes Diquark}} \underbrace{\epsilon^{ade}\left(\bar{b}_C^f(-\mathbf{r}/2)U^{fd}(-\mathbf{r}/2;\mathbf{z})(C\tilde{\Gamma})_{CD}\bar{b}_D^g(+\mathbf{r}/2)U^{ge}(+\mathbf{r}/2;\mathbf{z})\right)}_{=\text{schweres Antidiquark}}$$

und vergleiche deren Beiträge zum  $\bar{b}\bar{b}qq$ -/ $BB$ -Potential.

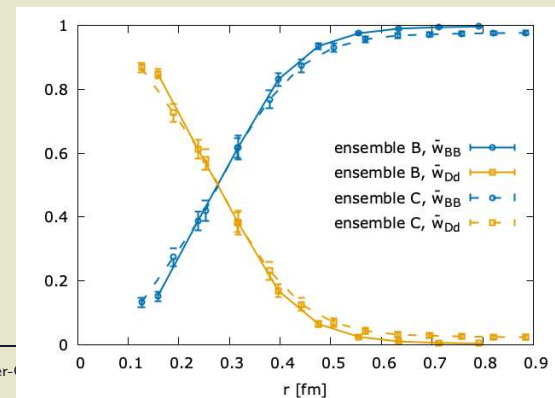
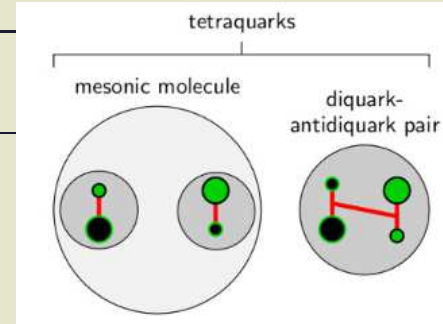
[P. Bicudo, A. Peters, S. Veltens, M.W., Phys. Rev. D **103**, 114506 (2021) [arXiv:2101.00723]]

→  $r \lesssim 0.2$  fm: **Diquark-Antidiquark-Dominanz.**

→  $0.5$  fm  $\lesssim r$ : **Meson-Meson-System.**

→ **Integration über  $r$ , gewichtet mit radialer Aufenthaltswahrscheinlichkeit**  
(→ Wellenfunktion) liefert **Zusammensetzung des Tetraquarks:**

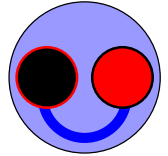
$\%BB \approx 60\%$  ,  $\%Dd \approx 40\%$ .



## Teil 2b: Hybride Mesonen $\bar{b}b + \text{Gluonen}$

# BO1: hybride $\bar{b}b$ -Potentiale (1)

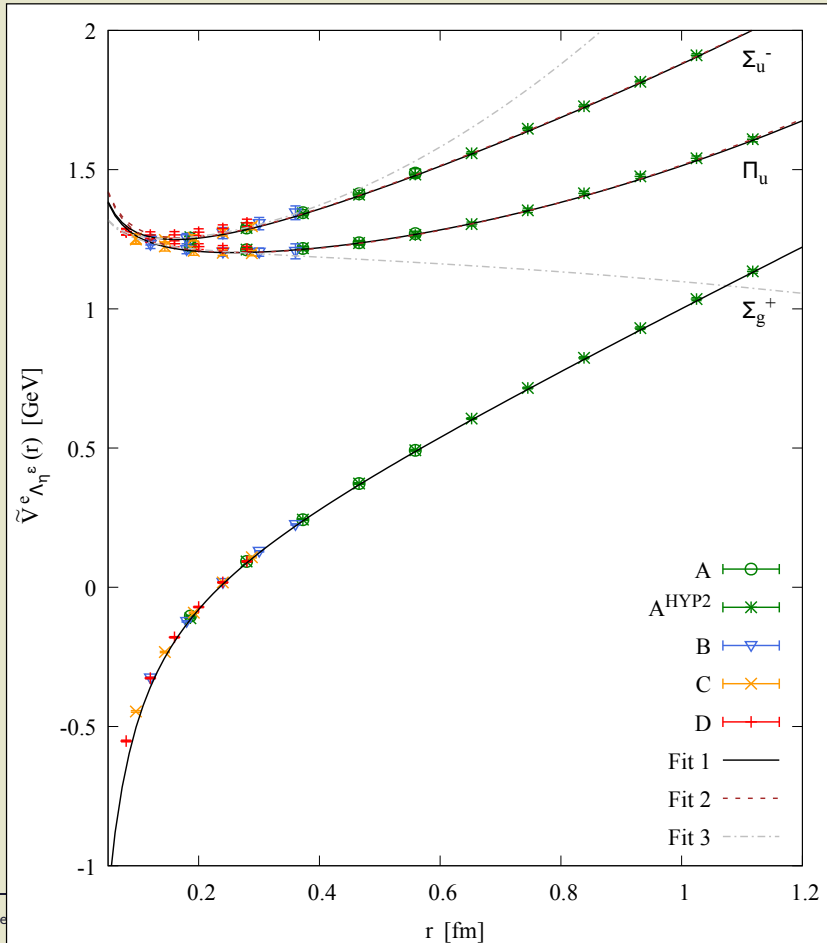
hybrides  $\bar{b}b$ -Meson



- Nun schwere hybride Mesonen, d.h.  $\bar{b}b$  + Gluonen, ebenfalls in der Born-Oppenheimer-Approximation.
- Gluonen bilden nicht-triviale Strukturen und tragen so zu den Quantenzahlen bei, bei hybriden  $\bar{b}b$ -Potentialen
  - Bahndrehimpuls bezüglich der  $\bar{b}b$ -Separationsachse,  
 $\Lambda = 0, 1, 2, \dots \equiv \Sigma, \Pi, \Delta, \dots$ ,
  - Parität kombiniert mit Ladungskonjugation,  
 $\eta = +, - = g, u$ ,
  - Spiegelung senkrecht zur  $\bar{b}b$ -Separationsachse,  
 $\epsilon = +, -$ .
- Das gewöhnliche (nicht-hybride)  $\bar{b}b$ -Potential hat Quantenzahlen  $\Lambda_\eta^\epsilon = \Sigma_g^+$ .
- Von speziellem Interesse: die niedrigsten beiden hybriden Potentiale mit  $\Lambda_\eta^\epsilon = \Pi_u, \Sigma_u^-$ .  
(mit diesen Potentialen die besten Chancen, Kontakt zu Experimenten herzustellen)
- References:  
[K. J. Juge, J. Kuti, C. J. Morningstar, Nucl. Phys. Proc. Suppl. **63**, 326 (1998) [hep-lat/9709131]  
...  
[P. Bicudo, N. Cardoso, M. Cardoso, Phys. Rev. D **98**, 114507 (2018) [arXiv:1808.08815 [hep-lat]]]

# B01: hybride $\bar{b}b$ -Potentiale (2)

- [C. Schlosser, M.W., Phys. Rev. D **105**, 054503 (2022) [arXiv:2111.00741]]



# BO2: hybride $\bar{b}b$ -Mesonen

- Löse radiale Schrödinger-Gleichung für Relativkoordinate  $r$  der beiden  $\bar{b}$ -Quarks mit den eben gezeigten hybriden Potentialen,

$$\left( -\frac{1}{2\mu} \frac{d^2}{dr^2} + \frac{L(L+1) - 2\Lambda^2 + J_{\Lambda\eta}^\epsilon (J_{\Lambda\eta}^\epsilon + 1)}{2\mu r^2} + V_{\Lambda\eta}^\epsilon(r) \right) u_{\Lambda\eta}^\epsilon;L,n(r) = E_{\Lambda\eta}^\epsilon;L,n u_{\Lambda\eta}^\epsilon;L,n(r).$$

Energieeigenwerte  $E_{\Lambda\eta}^\epsilon;L,n$  sind grobe Approximationen für Massen von hybriden  $\bar{b}b$ -Mesonen.

[E. Braaten, C. Langmack, D. H. Smith, Phys. Rev. D **90**, 014044 (2014) [arXiv:1402.0438]]

[M. Berwein, N. Brambilla, J. Tarrus Castella, A. Vairo, Phys. Rev. D **92**, 114019 (2015) [arXiv:1510.04299]]

[R. Oncala, J. Soto, Phys. Rev. D **96**, 014004 (2017) [arXiv:1702.03900]]

- Es existieren Spektrumsberechnungen für hybride  $\bar{b}b$ -Mesonen, aber deren Bedeutung ist weniger klar als z.B. beim vorher diskutierten  $\bar{b}b u d$ -Tetraquark-Fall:
  - Keine klaren experimentellen Kandidaten für hybride  $\bar{b}b$ -Mesonen.
  - Gleiche Quantenzahlen für Multi-Hadron-Zustände (z.B. Quarkonium + Pion(en)) und Tetraquarks.
  - Spin- und  $1/m_b$ -Korrekturen fehlen (Gegenstand aktueller Forschung).  
[N. Brambilla, G. Krein, J. Tarrus Castella, A. Vairo, Phys. Rev. D **97**, 016016 (2018) [arXiv:1707.09647]]

...

# Hybride Flussschläuche (1)

- Berechne mit Gittereichtheorie ortsabhängige quadratische chromoelektrische und chromomagnetische Feldstärken für Zustände, die hybriden  $\bar{b}b$ -Potentialen entsprechen.

$$\Delta F_{\mu\nu, \Lambda_\eta^\epsilon}^2(r; \mathbf{x}) = \langle 0_{\Lambda_\eta^\epsilon}(r) | F_{\mu\nu}^2(\mathbf{x}) | 0_{\Lambda_\eta^\epsilon}(r) \rangle - \langle \Omega | F_{\mu\nu}^2 | \Omega \rangle.$$

- $F_{\mu\nu}^2(\mathbf{x})$ ,  $F_{\mu\nu}^2$ : quadratische chromoelektrische und chromomagnetische Feldstärken.
- $|0_{\Lambda_\eta^\epsilon}(r)\rangle$ : "hybrider  $\bar{b}b$ -Potential-Zustand" ( $r$  bezeichnet  $\bar{b}b$ -Abstand).
- $|\Omega\rangle$ : Vacuum.

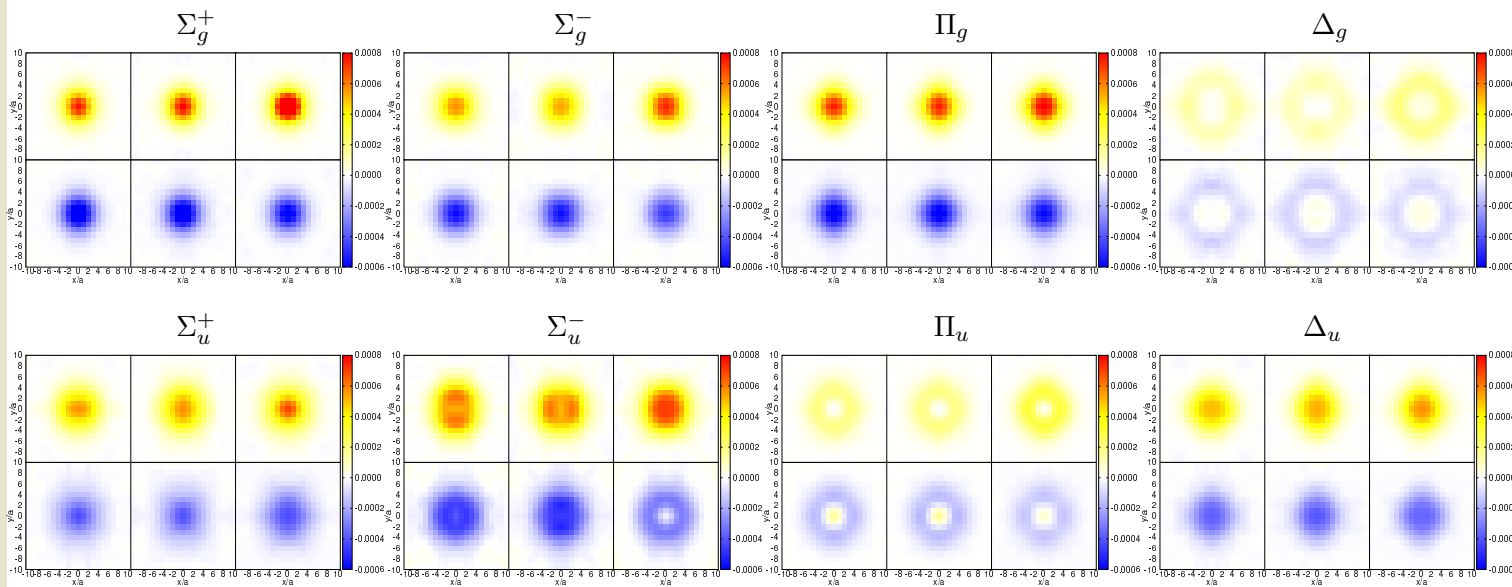
→ Sichtbarmachen der hybriden Flussschläuche zwischen dem Quark  $b$  und dem Antiquark  $\bar{b}$ .

- Die Summe über die sechs  $\Delta F_{\mu\nu, \Lambda_\eta^\epsilon}^2(r; \mathbf{x})$  entspricht der Energiedichte des Gluonfelds.

# Hybride Flussschläuche (2)

- $\Delta F_{\mu\nu, \Lambda_\eta^\epsilon}^2(r; \mathbf{x})$ , SU(2), “Mediator-Plane” ( $x$ - $y$ -Ebene mit  $b, \bar{b}$  bei  $(0, 0, \pm r/2)$ ),  $r \approx 0.8$  fm.  
[L. Müller, O. Philipsen, C. Reisinger, M.W., Phys. Rev. D **100**, 054503 (2019) [arXiv:1907.014820]]
- Ergebnisse zu  $\Lambda_\eta^\epsilon = \Sigma_g^+, \Sigma_u^+, \Pi_u$  auch in  
[P. Bicudo, N. Cardoso and M. Cardoso, Phys. Rev. D **98**, 114507 (2018) [arXiv:1808.08815]]

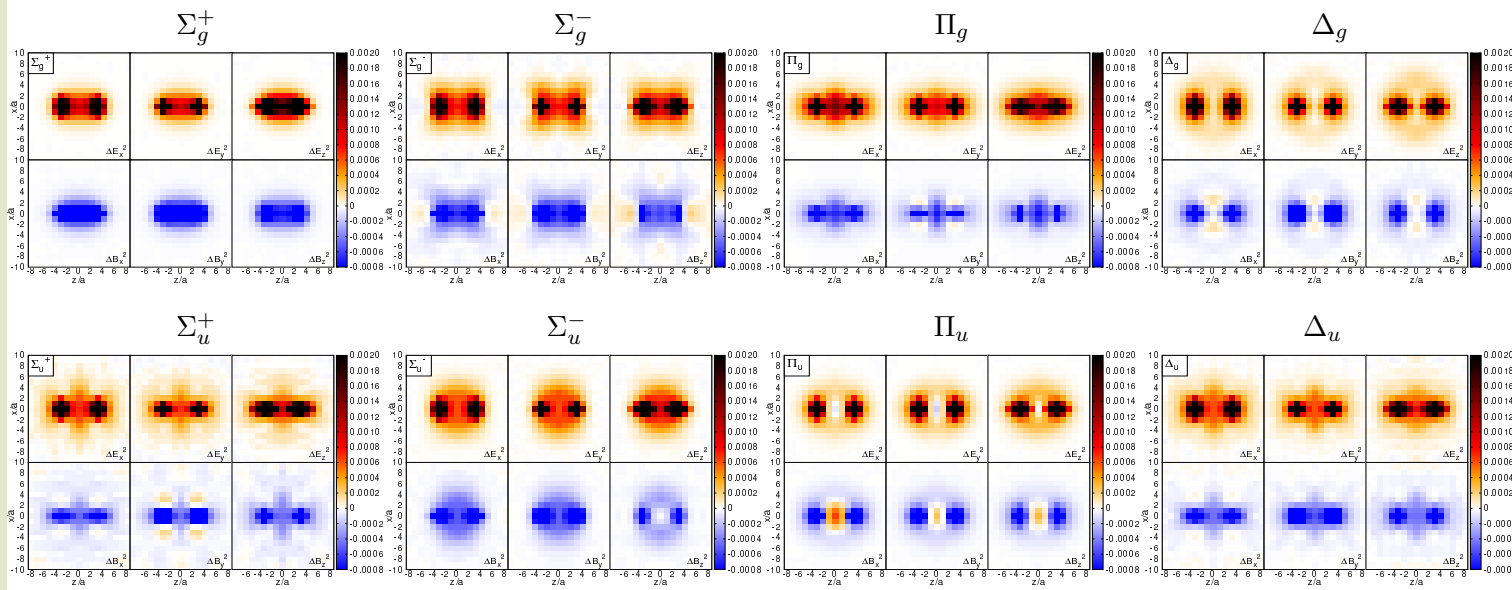
$\frac{\Delta E_x^2}{\Delta B_x^2}$	$\frac{\Delta E_y^2}{\Delta B_y^2}$	$\frac{\Delta E_z^2}{\Delta B_z^2}$
-------------------------------------	-------------------------------------	-------------------------------------



# Hybride Flussschläuche, $r \approx 0.48 \text{ fm}$ (3)

- $\Delta F_{\mu\nu, \Delta_\eta}^\epsilon(r; \mathbf{x})$ ,  $SU(2)$ , Separations-Ebene ( $x$ - $z$ -Ebene mit  $b, \bar{b}$  bei  $(0, 0, \pm r/2)$ ),  $r \approx 0.48 \text{ fm}$ .  
[L. Müller, O. Philipsen, C. Reisinger, M.W., Phys. Rev. D **100**, 054503 (2019) [arXiv:1907.014820]]
- Ergebnisse zu  $\Lambda_\eta^\epsilon = \Sigma_g^+, \Sigma_u^+, \Pi_u$  auch in  
[P. Bicudo, N. Cardoso and M. Cardoso, Phys. Rev. D **98**, 114507 (2018) [arXiv:1808.08815]]

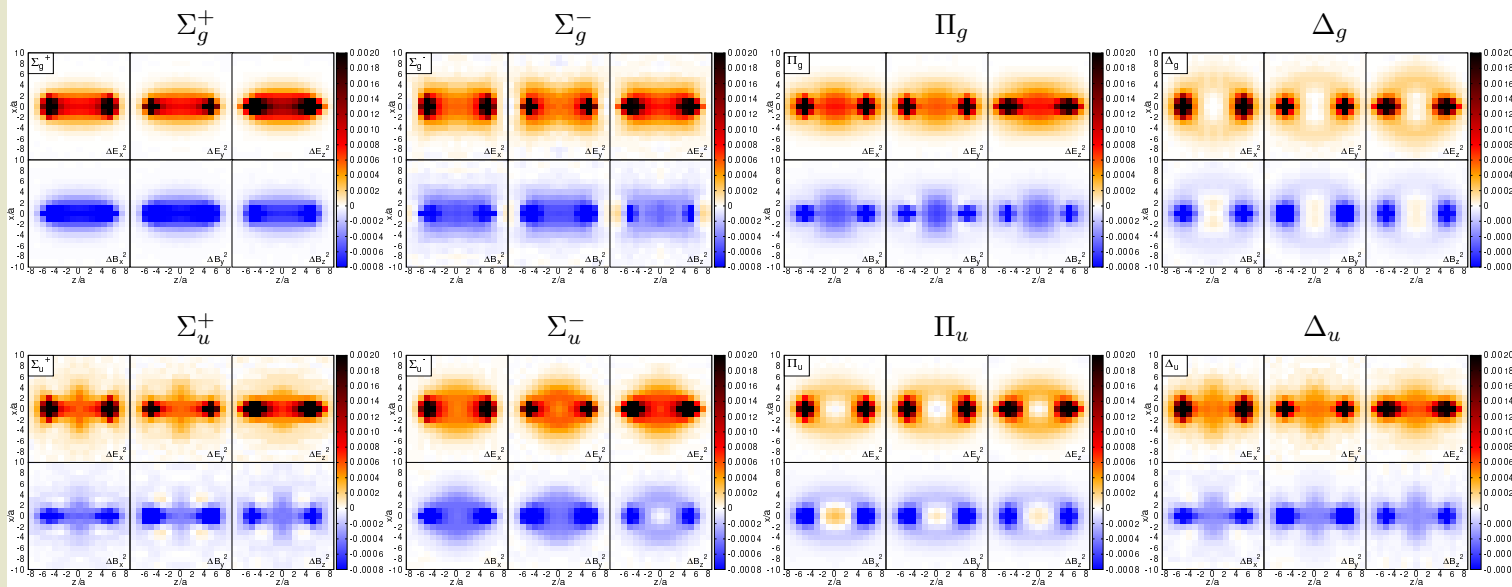
$\frac{\Delta E_x^2}{\Delta B_x^2}$	$\frac{\Delta E_y^2}{\Delta B_y^2}$	$\frac{\Delta E_z^2}{\Delta B_z^2}$
-------------------------------------	-------------------------------------	-------------------------------------



# Hybride Flussschläuche, $r \approx 0.80 \text{ fm}$ (3)

- $\Delta F_{\mu\nu, \Delta}^{\epsilon}(r; \mathbf{x})$ ,  $SU(2)$ , Separations-Ebene ( $x$ - $z$ -Ebene mit  $b, \bar{b}$  bei  $(0, 0, \pm r/2)$ ),  $r \approx 0.80 \text{ fm}$ .  
[L. Müller, O. Philipsen, C. Reisinger, M.W., Phys. Rev. D **100**, 054503 (2019) [arXiv:1907.014820]]
- Ergebnisse zu  $\Lambda_{\eta}^{\epsilon} = \Sigma_g^+, \Sigma_u^+, \Pi_u$  auch in  
[P. Bicudo, N. Cardoso and M. Cardoso, Phys. Rev. D **98**, 114507 (2018) [arXiv:1808.08815]]

$\frac{\Delta E_x^2}{\Delta B_x^2}$	$\frac{\Delta E_y^2}{\Delta B_y^2}$	$\frac{\Delta E_z^2}{\Delta B_z^2}$
-------------------------------------	-------------------------------------	-------------------------------------



# Zusammenfassung

- **Ziel: Ausgehend von QCD Masse und Struktur schwerer exotischer Mesonen verstehen.**
- Berechnung von Massen schwerer exotischer Mesonen im Rahmen der Born-Oppenheimer-Approximation.
  - (1) Gitter-QCD-Berechnung von  $\bar{b}b$ -Potentialen.  
(Behandlung leichter Freiheitsgrade in QCD)
  - (2) Lösen der Schrödinger-Gleichung mit den Potentialen aus (1).  
(Behandlung schwerer Freiheitsgrade in Quantenmechanik)
- Ausgewählte Ergebnisse diskutiert:
  - Gitter-QCD-Berechnung von  $\bar{b}bqq$ -/ $BB$ -Potentialen und hybriden  $\bar{b}b$ -Potentialen.
  - Vorhersage eines stabilen  $\bar{b}bud$ -Tetraquarks mit Quantenzahlen  $I(J^P) = 0(1^+)$ .
  - Untersuchung der Struktur dieses Tetraquarks:  
 $\%BB \approx 60\%$ ,  $\%Dd \approx 40\%$ .
  - Berechnung von gluonischen Energiedichten für hybride  $\bar{b}b$ -Mesonen (Sichtbarmachen von Flussschläuchen).

